

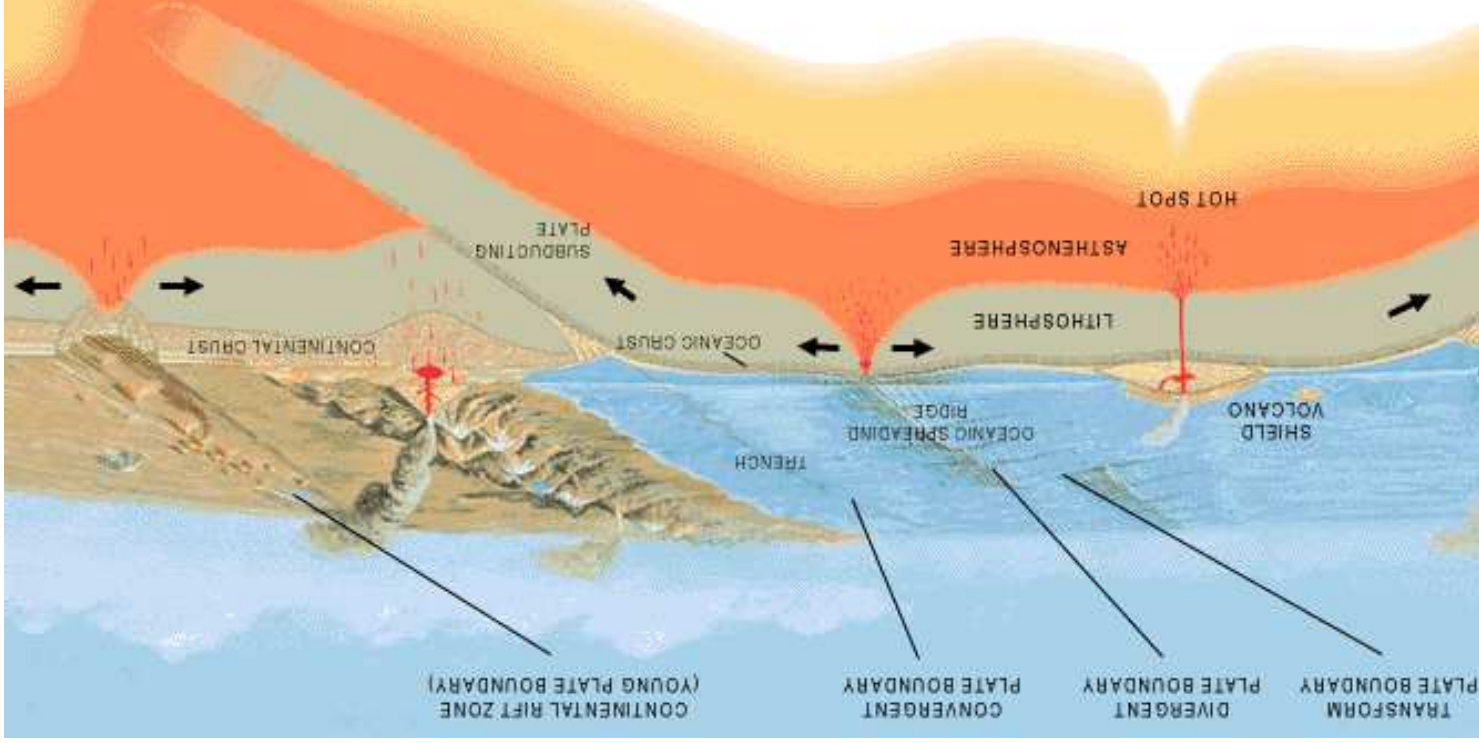
Génération de code parallèle explicite, en espace,  
dans le cadre de réseaux d'automates cellulaires

## I. Modélisations par réseaux d'automates cellulaires et simulations parallèles du phénomène de subduction-érosion en tectonique des plaques

- rappels sur la tectonique des plaques,
- choix d'une modélisation discrète et SPM,
- présentation des modèles,
- présentation des simulations et de leurs optimisations parallèles,
- résultats et performances,
- conclusion et évolutions.

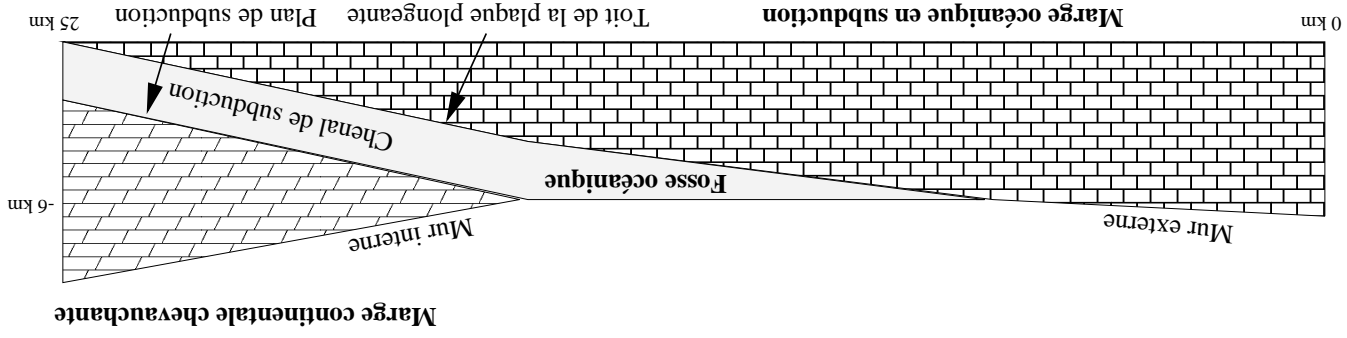
## Le contexte géotectonique

↳ le globe terrestre est une structure stratifiée composée d'une multitude de calottes sphériques (les plaques) en mouvement permanent.



# Séminaire interne du LMT - 8 février 2001

← subduction de marge océanique sous une marge continentale (cas de la fosse d'Amérique centrale, au large de Mexico),



## Séminaire interne du LMT - 8 février 2001

### L'existant vs. notre stratégie de modélisation

← L'existant en matière de modélisation : simulations analogiques expérimentales et simulations numériques avec résolution d'EDP par éléments finis. But : satisfaire des *critères de similarité physique*. Problèmes :

- ▶ transferts d'échelles et aspects thermiques,
- ▶ indications à petites échelles sur l'épaississement ou l'amincissement. Comportement de *milieu*, pas de prise en compte des *individualités*.

← modélisation par systèmes dynamiques discrets. La conjonction de règles élémentaires locales engendre des comportements d'ensemble complexes :

- ▶ modélisation de la convection par une méthode LGA,
- ▶ modélisations en sismologie, en érosion de terrain...

← réseau d'automates cellulaires : juxtaposition d'une même règle de

# Séminaire interne du LMT - 8 février 2001

transition, selon un mode opératoire synchrone, sur des cellules placées aux sommets d'un graphe simple orienté, connexe et d-régulier,

localité

uniformité

synchronisation

parallélisme

## Analgies avec le SPM

← étendu au cas bi-dimensionnel :

▶ grille régulière en 2 dimensions d'automates cellulaires,

▶ individualisation de chaque "grain" (avec attributs de nature

et de couleur pour chaque automate),

▶ loi de transition plus complexe à écrire puisque fonction d'un

voisinage plus grand (voisinage de Moore étendu),

← le *Sand Pile Model* ID :

▶ physique de l'état granulaire (Bak, Tang et Wiesenfeld - 1980),

▶ réseau d'automates cellulaires en ligne,

▶ un automate correspond à une hauteur de pile de sable,

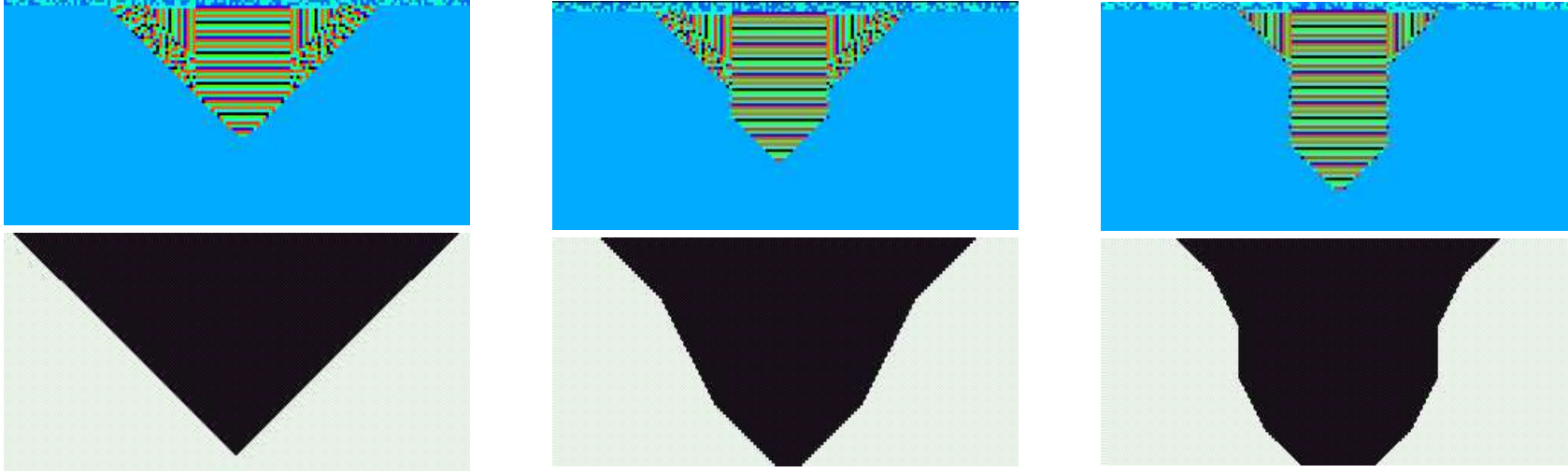
▶ loi de transition :

$$\text{avec : } \mathbb{I}(n) = \begin{cases} 0 & \text{si } n > 2 \\ 1 & \text{sinon} \end{cases}$$

$$C_{t+1}^j = C_t^j - \mathbb{I}(C_t^j - C_t^{j-1}) - \mathbb{I}(C_t^j - C_t^{j+1}) + \mathbb{I}(C_t^{j-1} - C_t^j) + \mathbb{I}(C_t^{j+1} - C_t^j)$$

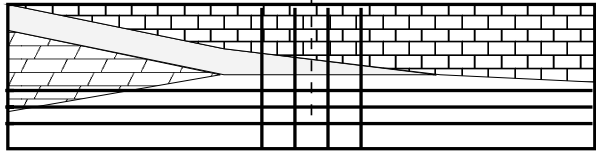
# Séminaire interne du LMT - 8 février 2001

rendus visuels comparés : ←





## Les modèles

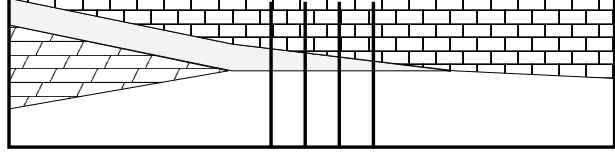


Automate cellulaire 2D

découpage en blocs de la coupe

étudiée

démarche ascendante à base de règles d'interactions locales mutuelles.



Automate cellulaire 1D

découpage en colonnes de la

coupe étudiée

# Séminaire interne du LMT - 8 février 2001

- ← modélisation 1D :
  - ▶ ligne finie de 1000 AC,
  - ▶ état d'une cellule : 7 hauteurs de couches, un coefficient de "marche" et un coefficient de "vieillissement"  $\Rightarrow$  nombre fini "courbure", la "mémoire" et d'états,
  - ▶ 2 voisins,
  - ▶ imbrication de trois "moteurs" (étendu),
  - correspondant à trois échelles de mécanisme de réplication des temps,
  - ▶ mécanisme additionnel pour la transmission d'une donnée globale invariant, (*Coeff<sub>T</sub>translation*),
- ← modélisation 2D :
  - ▶ grille régulière de 20000 AC,
  - ▶ état d'une cellule : 6 entiers bornés correspondant à la couleur, de "marche" et un coefficient de la nature, le vieillissement, la "vieillissement"  $\Rightarrow$  nombre fini "courbure", la "mémoire" et l'altitude de la cellule courante,
  - ▶ 24 voisins (voisinage de Moore (étendu),
  - correspondant à trois échelles de mécanisme de réplication des cellules des bords internes singu-
  - ▶ mécanisme additionnel pour la transmission d'une donnée globale invariant, (*Coeff<sub>T</sub>translation*),

Représentation de  $(C^t)_{t \in \mathbb{N}}$  par un "jeu de bascule" entre deux tableaux  $C$  et  $CC$ .

## ← algorithme simplifié 1D

répéter

$CC \leftarrow C$

$C \leftarrow F^{lente}(CC, Coeff_{Tr})$

répéter

$CC \leftarrow C$

$C \leftarrow F^{moyenne}(CC, Coeff_{Tr})$

répéter

$CC \leftarrow C$

$C \leftarrow F^{rapide}(CC)$

jusqu'à condition d'arrêt 1

jusqu'à condition d'arrêt 2

saisie conditionnelle d'image

jusqu'à condition d'arrêt 3

## ← algorithme simplifié 2D

répéter

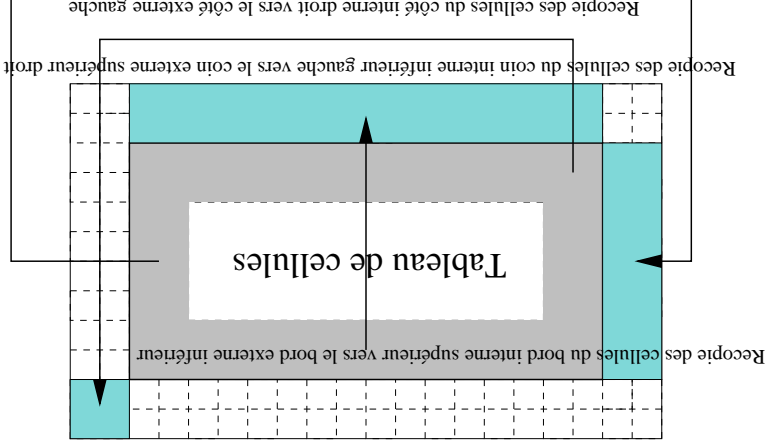
$CC \leftarrow C$

réplication des bords de  $CC$

$C \leftarrow F(CC)$

jusqu'à condition d'arrêt

Cellules du bord externe  
 Cellules du bord interne



## Séminaire interne du LMT - 8 février 2001

← 3 "moteurs" imbriqués du modèle 1D :  
(on les retrouve en 2D à l'exception de la translation du front de la marge océanique)

- échelle de temps lente :  
subduction et génération des "brisures de pente",  
dégradation et érosion de la base de la plaque continentale,  
émission ou non du signal  $Coeff_{Ttranslation}$ ,  
échelle de temps intermédiaire :  
translation éventuelle du front de la marge océanique,  
nivellement de la fosse océanique,  
affaissements de terrain au sein de la plaque continentale,  
– échelle de temps rapide :  
avalanches superficielles sur la plaque continentale.

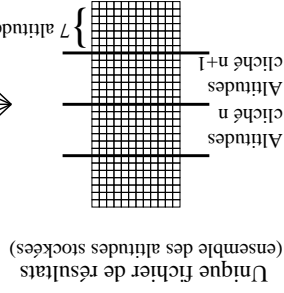
## Les simulations

← de la nécessité de développer nos propres outils...

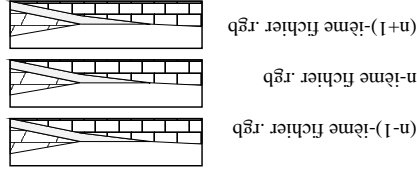
la plate-forme Cellular (= langage Cellang, compilateur cellc, machine virtuelle avcam et viewer cellview) ne correspond pas à nos besoins.

← et de bien distinguer les traitements des post-traitements graphiques.

► en 1D



Ensemble de fichiers au format RGB (issus d'un premier post-traitement)



► en 2D

conversion par convert de fichiers SunRaster ou Raw au format GIF, puis assemblage par dmconvert des images GIF en une animation MPEG-1 vidéo

Raw → GIF → MPV

## ← stratégie (commune) d'optimisation parallèle :

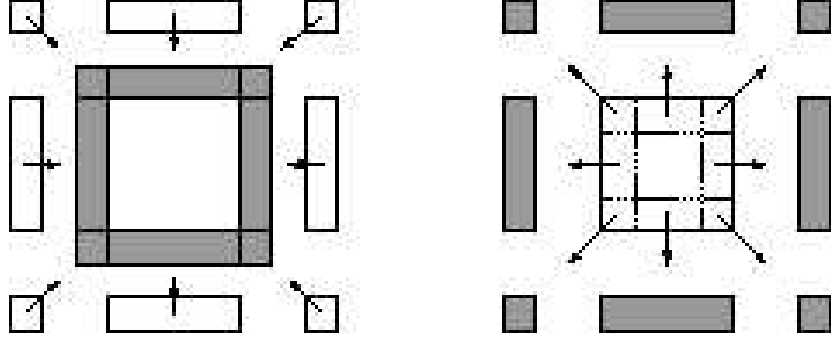
▶ architectures MIMD (asynchrones, distribuées avec bus ou réseau de communication) - modèle par échange de messages  
 ▶ méthode de décomposition de domaine

⇒ exploite la localité des données,

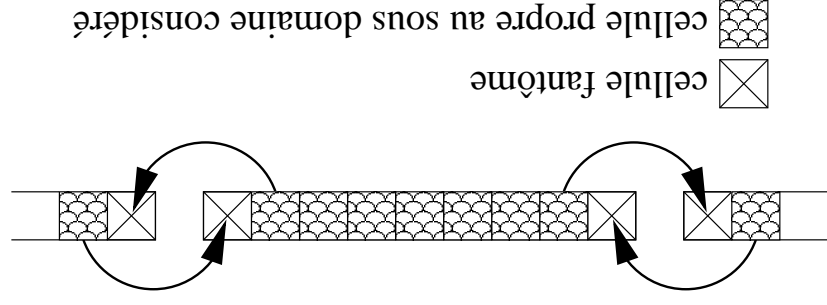
⇒ permet une résolution concurrente des sous-problèmes

▶ méthode de décomposition de domaine avec recouvrement  
 ⇒ problème : stockage en local d'informations non locales...

en 2D



en 1D



← **algorithme simplifié :**

▶ recouvrir les temps de communication par des temps de calcul,  
▶ principes communs aux deux fonctions de transition globales :

1. Envoi non bloquant des bords internes,
2. Mise à jour du sous-domaine (bords internes et externes exclus),
3. Réception bloquante des bords externes,
4. Réévaluation des états des bords internes.

avec quelques sauvegardes périodiques de la configuration du réseau d'automates cellulaires...

## ← gestion des entrées-sorties

désynchronisation d'un processus "superviseur" du reste des "itérateurs".

► Rôle du "superviseur" en 1D :

(c'est l'"itérateur" de gid nul)

1. il diffuse les paramètres d'ini-

tialisation,

2. il collecte, somme et rediffuse

les valeurs de  $Coeff_{Transition}$

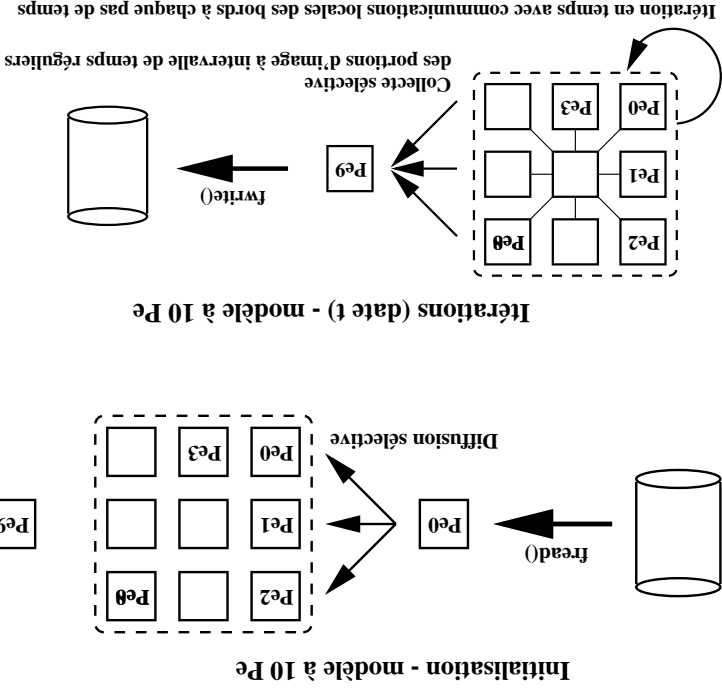
(`pvm_reduce`, `pvm_bcast`),

3. il collecte périodiquement

les attributs d'altitudes sur les

sous-domaines (`pvm_gather`) et

les stocke sur disque.



► Rôle du "superviseur" en 2D :



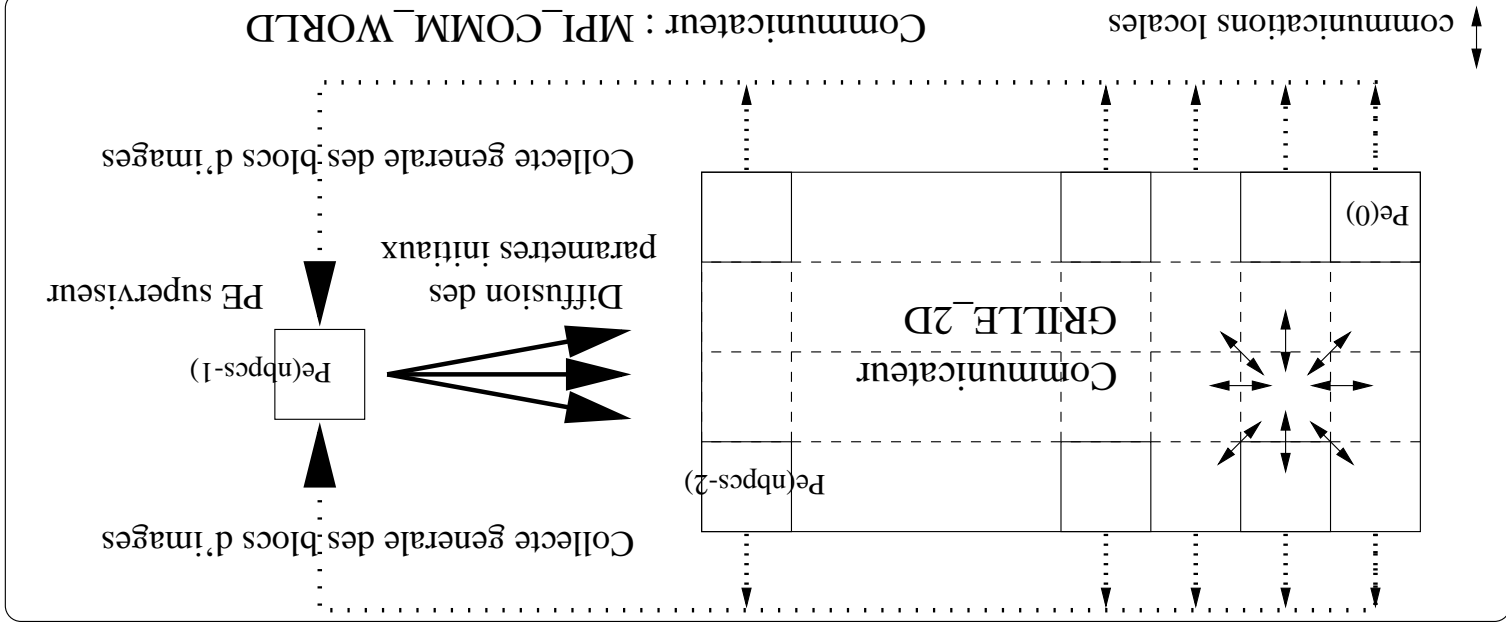
## ← spécificités de la parallélisation 2D :

de l'intérêt d'utiliser MPI et non plus PVM.

▶ topologie cartésienne de processus :

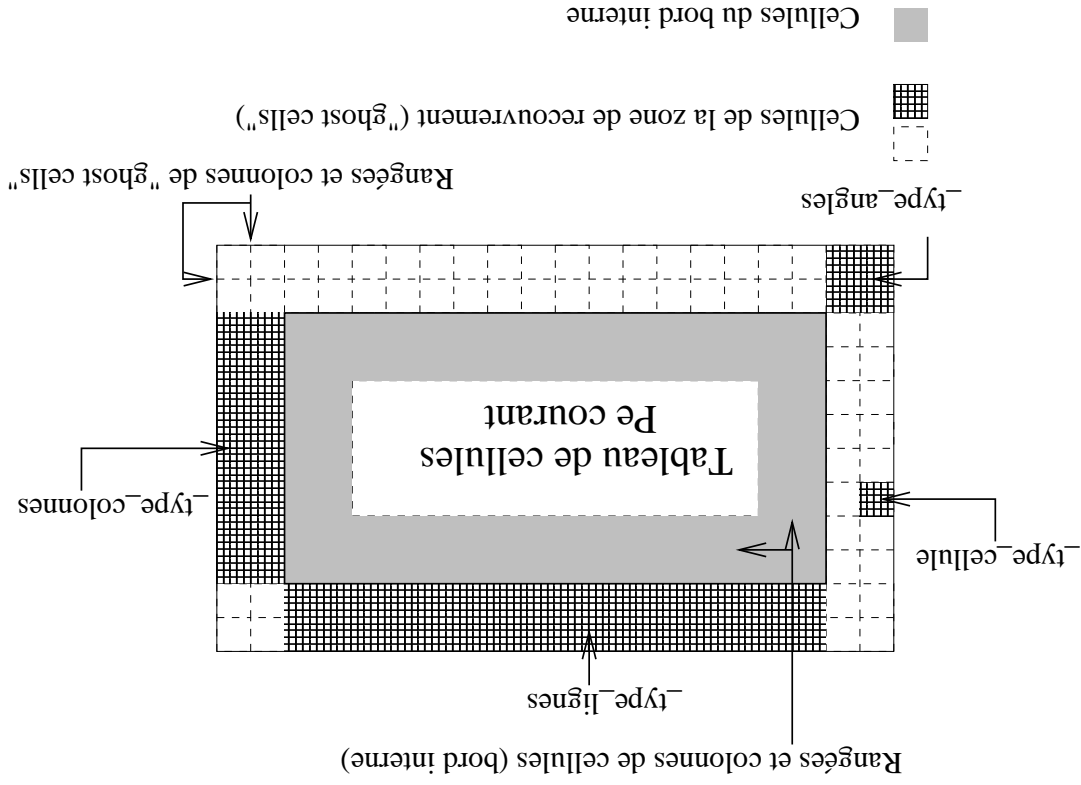
- partitionnement de MPI\_COMM\_WORLD en deux sous-communicateurs, - les "itérateurs" sont disposés sur une topologie cartésienne virtuelle

régulière à 2D (MPI\_cart\_create())



# Séminaire interne du LMT - 8 février 2001

- types de données dérivés :
- le type `_type_cellule` (type hétérogène, `MPI_Type_struct()`),
  - les types `_type_lignes`, `_type_angles`, `_type_colonnes` (types de données homogènes vectoriels à pas constant, `MPI_Type_vector()`),

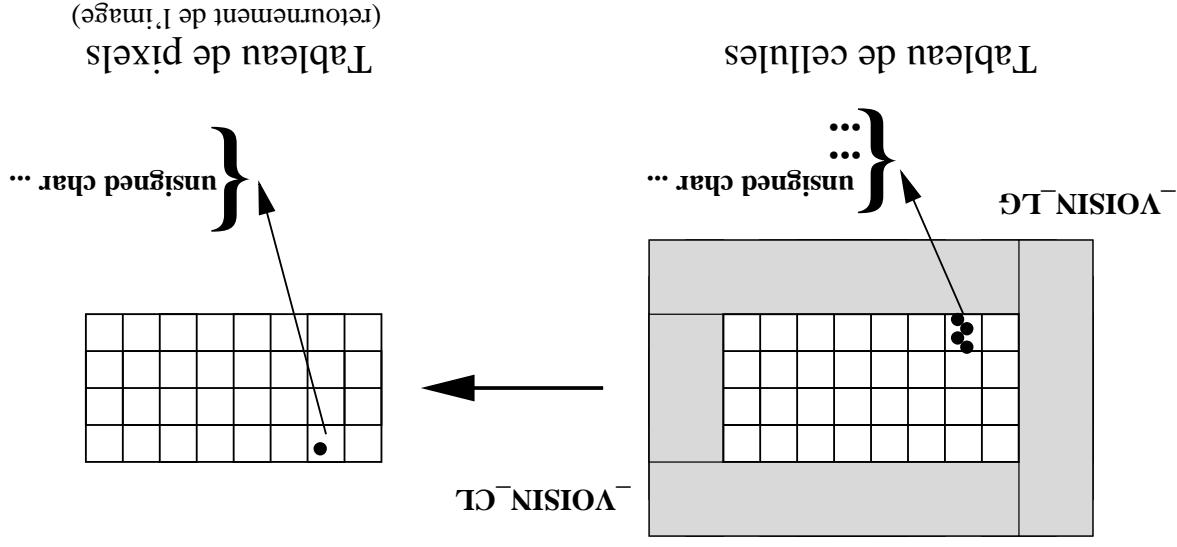


# Séminaire interne du LMT - 8 février 2001

Émission des résultats sur les "itérateurs" : il suffit de récupérer la valeur du champ couleur de la configuration courante

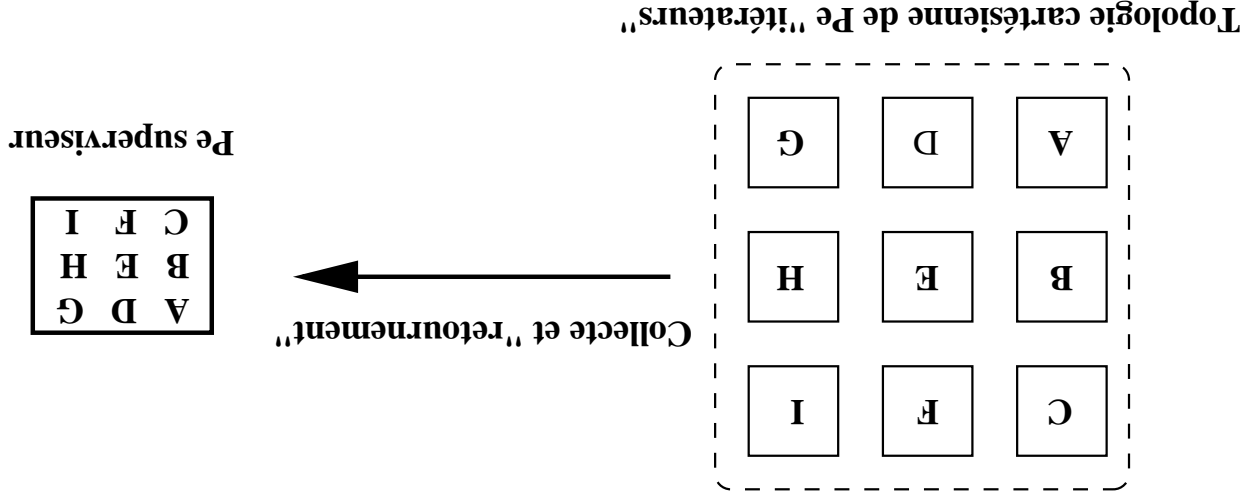
⇒ type\_bloc\_image (type homogène à pas variable où le tableau des cellules est considéré comme un tableau d'octets, MPI\_Type\_indexed()) - tailles des champs alignés en mémoire obtenues par MPI\_Type\_extent()),

Extraction et retournement des pixels d'un Pe quelconque



collecte des résultats sur le "superviseur" : `_type_image_global` (type homogène à pas constant, primitive `MPI_Type_vector()`),

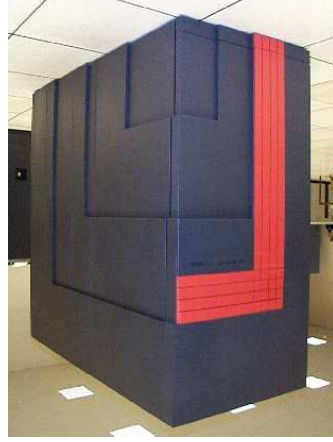
**Collecte et retournement des blocs d'image sur le superviseur**



# Séminaire interne du LMT - 8 février 2001

## Résultats et performances

► le CRAY T3E :

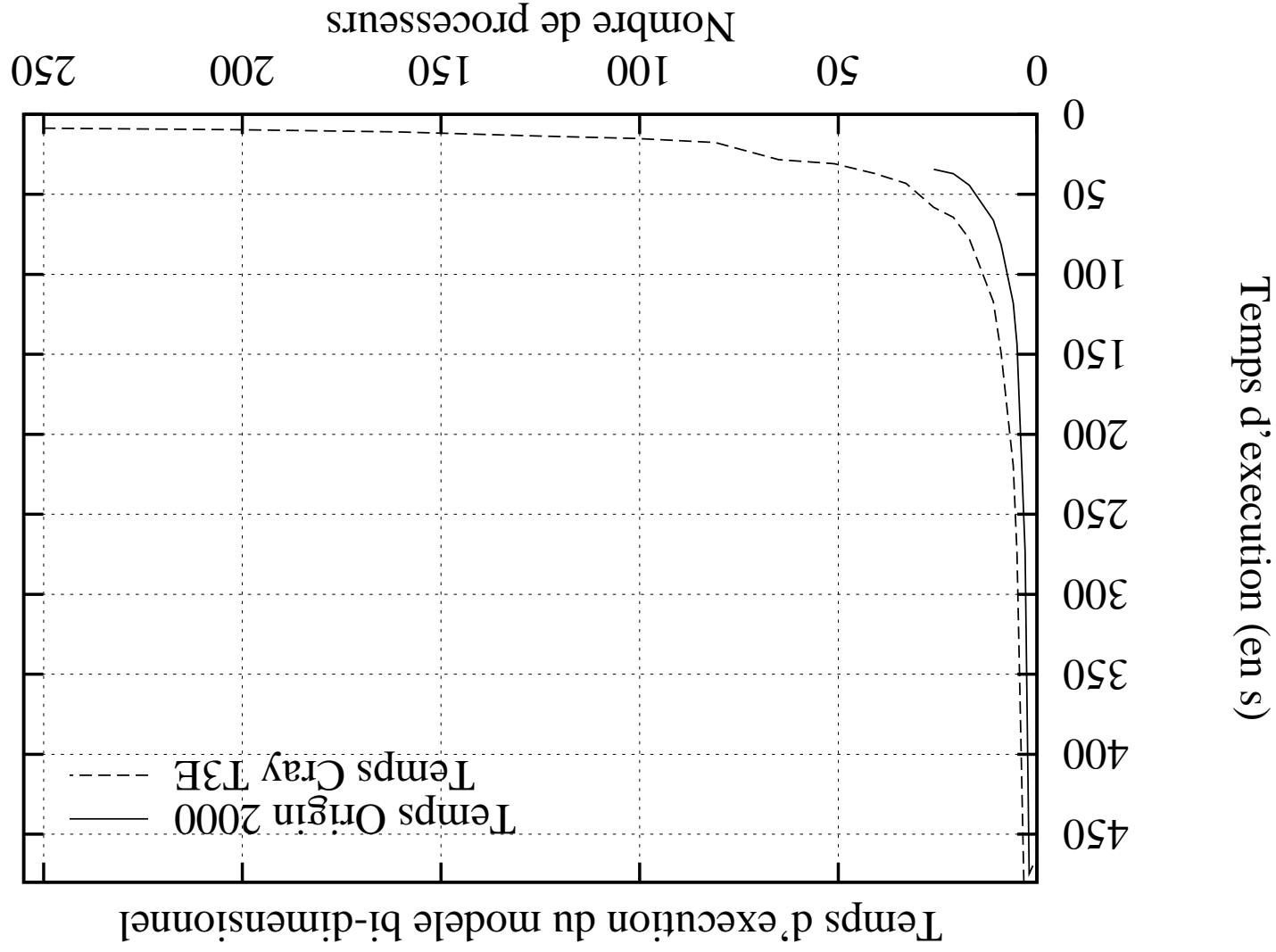


► l'ORIGIN 2000 :

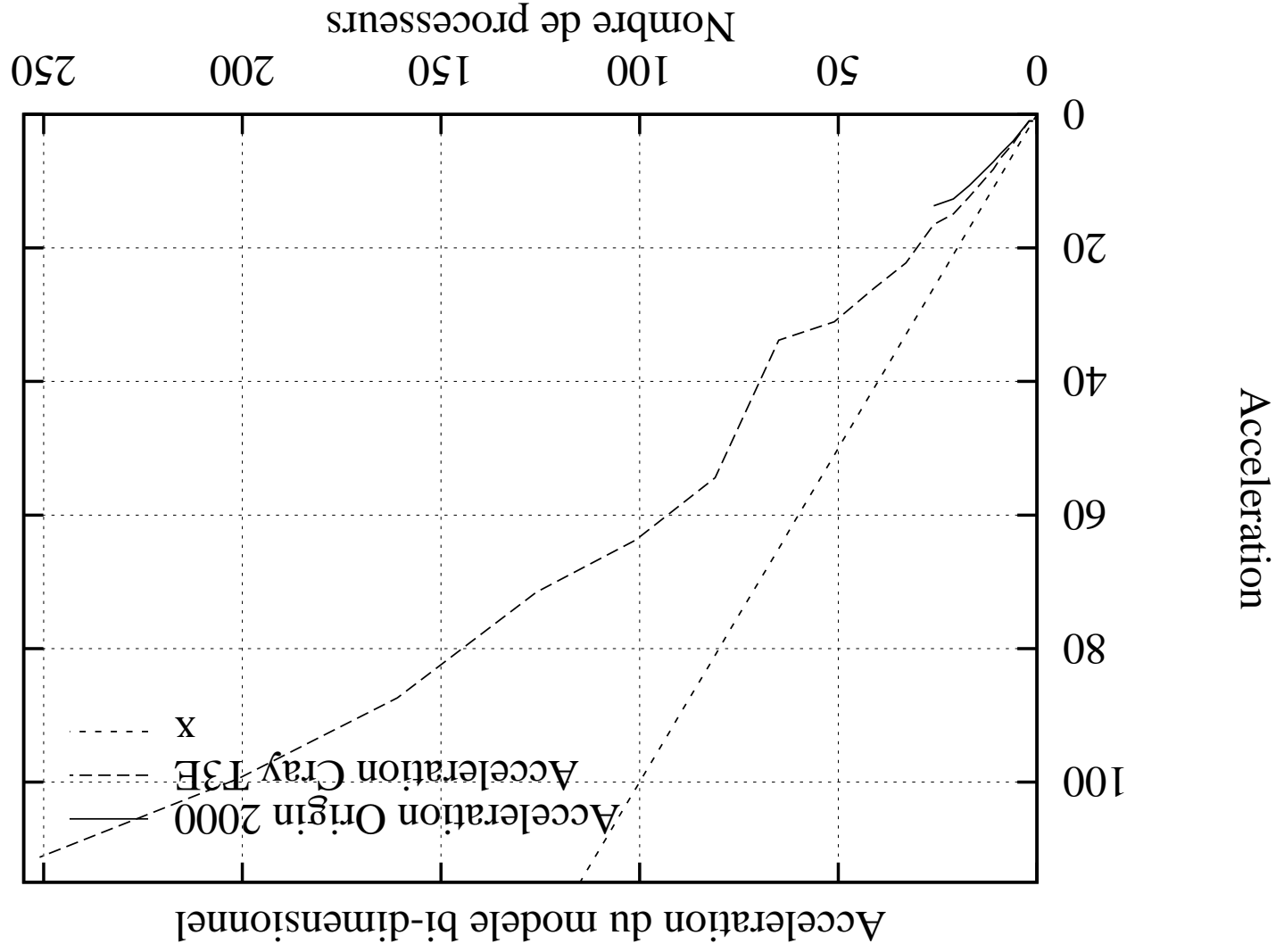


256 Dec Alpha 21164 - 600 32 R10000 - 390 Mflop/s,  
Mflop/s, caches de données de 32 ko et  
caches de données de 8 ko et 96 ko, 4 Mo,  
latence : 1  $\mu$ s, bande passante : 480 Mo/s,  
latence : 773 ns, bande passante : 780 Mo/s,

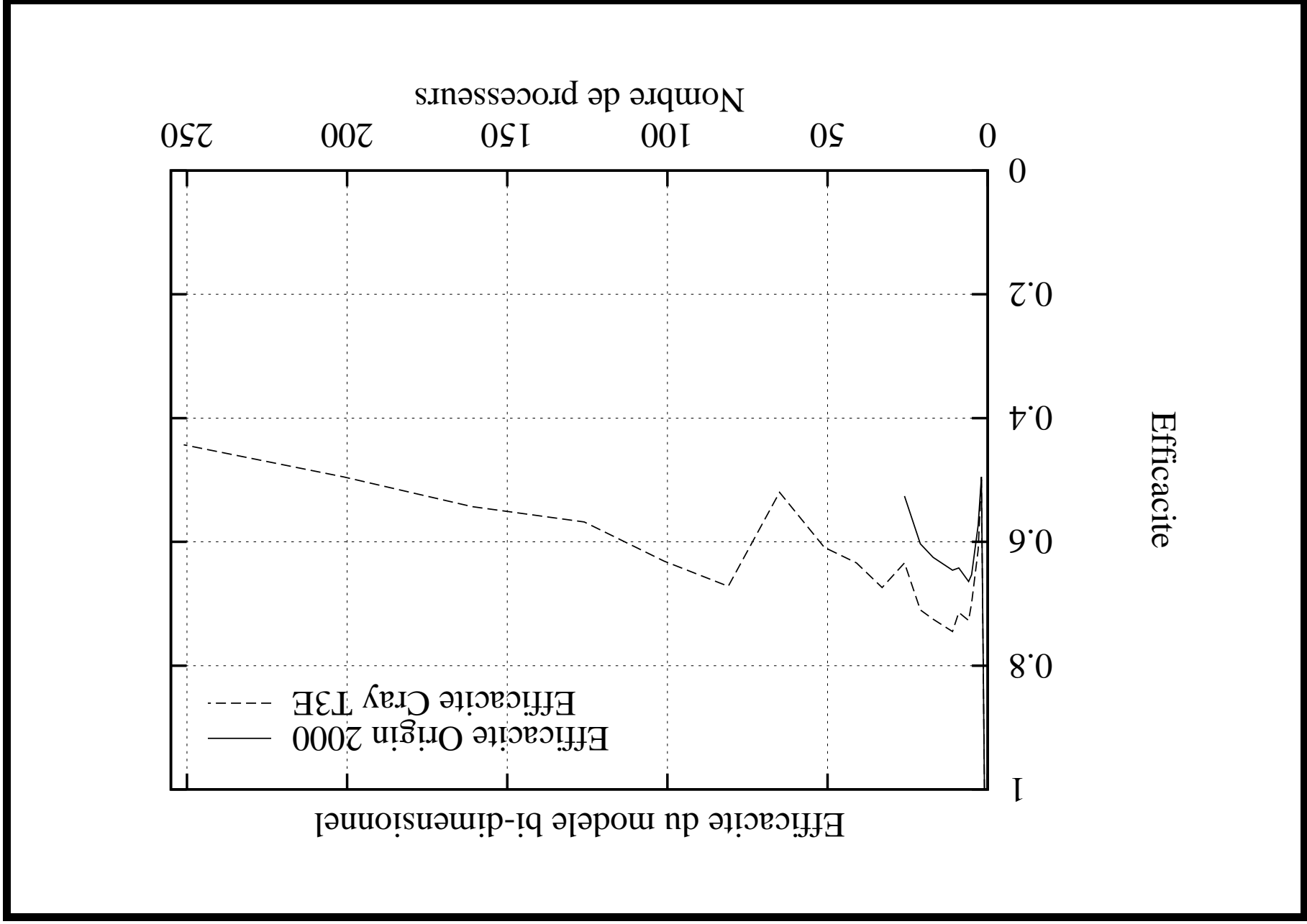
# Séminaire interne du LMT - 8 février 2001



# Séminaire interne du LMT - 8 février 2001



# Séminaire interne du LMT - 8 février 2001





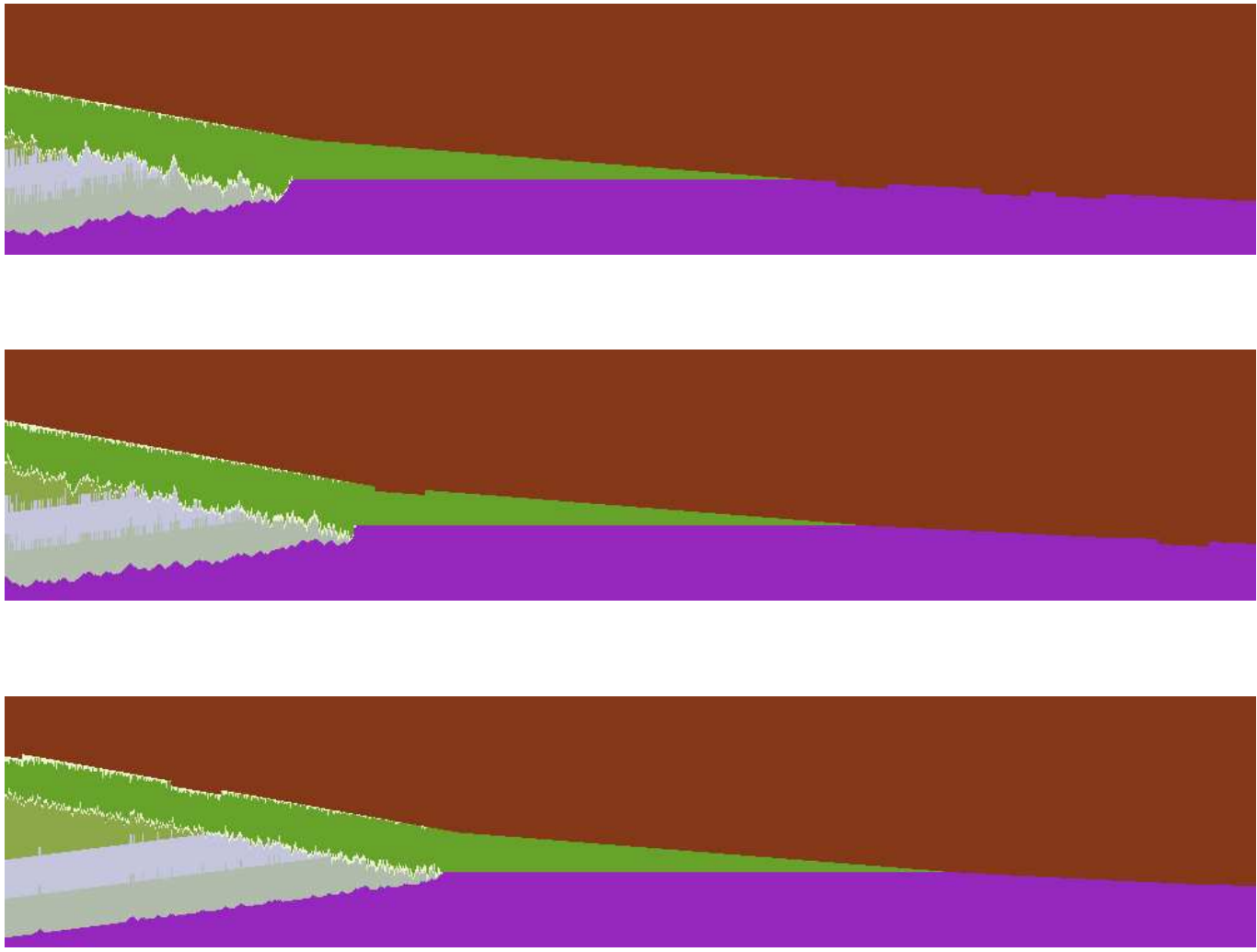


# Séminaire interne du LMT - 8 février 2001

nb	Topologies associées (nb de processeurs en ligne * nb de processeurs en colonnes)		Ratios associés (nb de cellules aux interfaces sur le nb total de cellules d'un sous-domaine)														
40	1*40	2*20	4*10	5*8	8*5	10*4	20*2	40*1	15,48								
50	1*50	2*25	5*10	10*5	25*2	50*1											
64	8*8																
80	2*40	4*20	8*10	10*8	20*4	40*2											
100	1*	2*50	4*25	5*20	10*	20*5	25*4	50*2	100*	1							
125	5*25	25*5	125*	1													
160	4*40	8*20	20*8	40*4													
200	1*	2*	4*50	5*40	8*25	10*	20*	25*8	40*5	50*4	22,84	21,63	21,63	21,63	22,84	31,32	45,53
250	5*50	10*	25*	50*5	125*	250*											

# Séminaire interne du LMT - 8 février 2001

← Copies d'écran de la simulation ID :

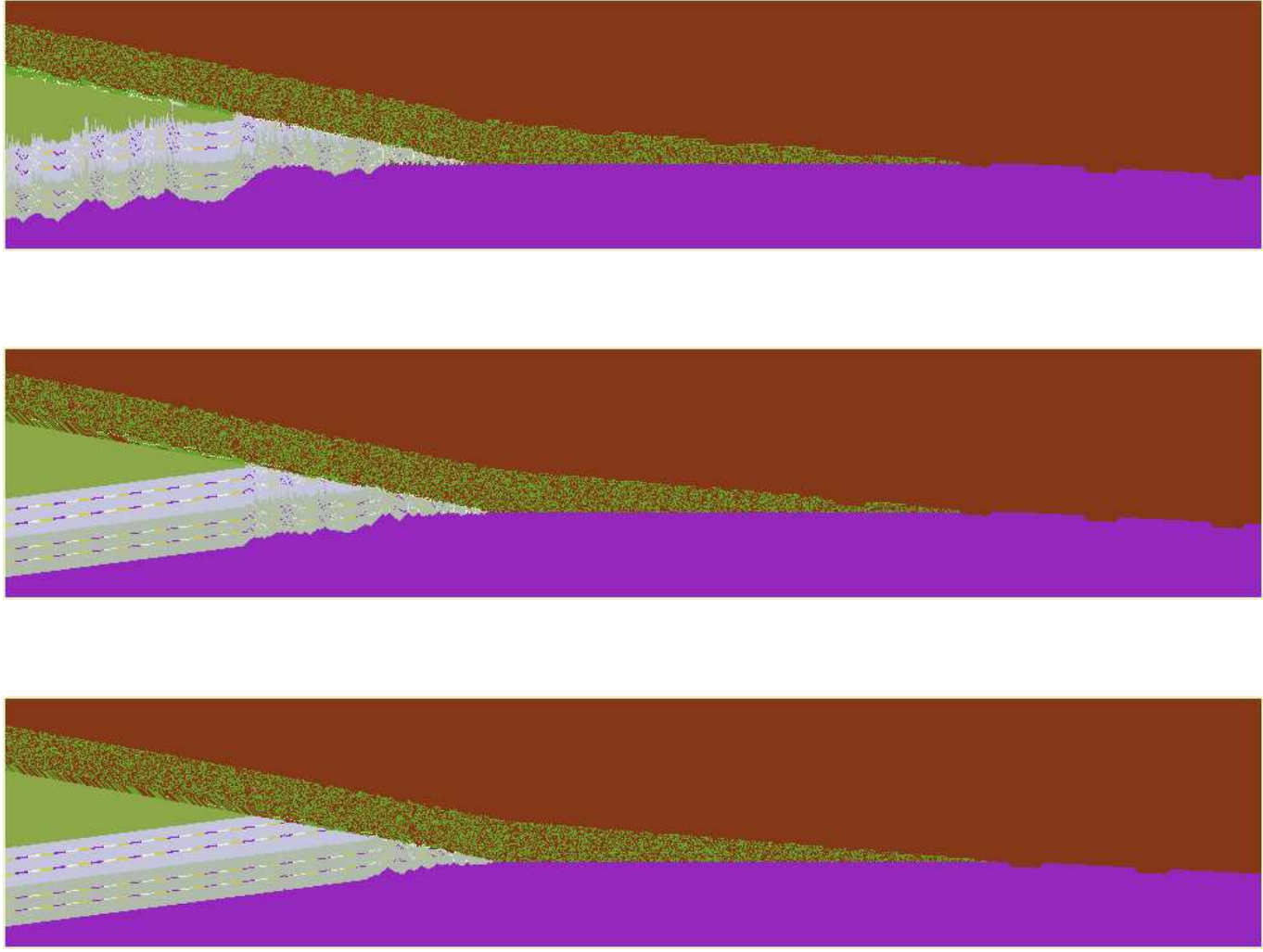


# Séminaire interne du LMT - 8 février 2001



# Séminaire interne du LMT - 8 février 2001

← Copies d'écran de la simulation 2D :



# Séminaire interne du LMT - 8 février 2001



# Séminaire interne du LMT - 8 février 2001

## Conclusions

- ← les vertus de l'approche discrète,
- ← la 1D intermédiaire facilitant le passage à la 2D,
- ← du bon "rendement" du modèle 1D en terme de rendu-visuel et de la simulation 2D en terme d'optimisation parallèle,
- ← justification de l'intérêt des nombreuses fonctionnalités de MPI,
- ← des simulations à valeur didactique pour l'illustration d'un phénomène géotectonique.

## Évolutions

- ← analyser le comportement des simulations,
- ← plate-forme logicielle spécifique *LAC*, envisager la 3D...

## II. Écriture d'un outil générique pour la manipulation de réseaux d'automates cellulaires

- 👉 contexte, motivations et enjeux,
- 👉 les atouts de la programmation orientée objets,
- 👉 cas particulier d'une parallélisation sur architectures à mémoire partagée,
- 👉 conclusion et évolutions.



## Séminaire interne du LMT - 8 février 2001

### Contexte, motivations et enjeux

↪ les outils classiques (Cellular, CellSim, CAPW, StarLogo...) ne permettent pas de simuler et représenter tous les types de RAC,

↪ au cours des premiers développements de la plate-forme *LAC* quelques grands principes communs ont été identifiés (*LAC* : langage dédié aux rac2d, traducteur en Lex et Yacc pour générer du C avec appel à des primitives MPI, frontal graphique en Perl/Tk),

↪ but : simplifier le travail d'un expérimentateur futur...

## Réutilisation et factorisation

- un RAC : un système discret + un mode opératoire, représentation logique d'une réalité géométrique physique sous forme d'un "graphe simple orienté, connexe et d-régulier" (typiquement  $\mathbb{Z}^n$  ; [Róka, 94] propose une généralisation aux graphes de Cayley), juxtaposition d'une même règle homogène de transition locale à tous les automates du réseau qui ont tous le même voisinage (d'influences) indépendamment du temps,
- application itérée selon un mode opératoire synchrone de ces règles de transition.
- mise en place des notions de réseau, voisinage, initialisation, transitions globale et locale et (accessoirement) représentation graphique, seuls l'initialisation, la transition locale et le mode de représentation graphique sont réellement RAC-dépendant !

## Polymorphisme et "liaison retardée" : la POO comme élément de réponse

↳ Polymorphisme : faculté d'une méthode donnée à pouvoir être appliquée à divers objets instanciant chacun des classes différentes, en C++), le code de la méthode invoquée par envoi de message est recherchée par parcours ascendant de la hiérarchie de classes (du graphage d'héritage) de l'objet récepteur. La première méthode trouvée dans ce parcours "ascendant" de graphes, dont la signature correspond à celle du message, est exécutée.

↳ Conséquences : factorisation maximale et "instanciation dynamique" d'objets (dont on a aucune connaissance a priori ⇒ chargement dynamique de nouvelles classes !) à l'exécution à l'aide d'une instruction du type :

```
objet = (Acgénérique)Class.forName("classeDApplication").newInstance();
```

## Le code générique

← notion de "contrat" à implémenter :

```

1  import java.awt.image.WritableRaster;
2  public interface Ac
3  {
4  void initialiser (int indice, Proprietes proprietes, Voisinage voisins);
5  void transitionLocale();
6  void afficher (WritableRaster tableauFixels);
7  }
```

← code générique du réseau :

```

1  public class Rac
2  {
3  private Proprietes proprietes;
4  private Ac[] configuration, configuration1;
5  private Voisinage voisins0, voisins1;
6  Rac (...)
7  {
8  for (int i=0; i<nbCellules; i++) {
9  configuration0[i]=(Ac)Class.forName(proprietes.classedApplication).newInstance();
10 configuration1[i]=(Ac)Class.forName(proprietes.classedApplication).newInstance();
11 }
12 voisins0 = new Voisinage(proprietes.tabDimensions,configuration0);
13 voisins1 = new Voisinage(proprietes.tabDimensions,configuration1);
14 }
15 public void initialiser () throws DimensionException
16 {
```

# Séminaire interne du LMT - 8 février 2001

```
17 for(int i=0 ; i<nbCellules ; i++) {
18   configuration0[i]. initialiser ( i, propriétés, voisins1);
19   configuration1[i]. initialiser ( i, propriétés, voisins0);
20 }
21 }
22 public void transitionGlobale()
23 {
24   permuterLogiquement(configuration0,configuration1);
25   for(int i=0 ; i<nbCellules ; i++)
26     configuration1[i]. transitionLocale ();
27 }
28 private void afficher ()
29 {
30   for(int i=0 ; i<nbCellules ; i++)
31     configuration1[i]. afficher (tableauPixels);
32 }
33 }
```

←code générique du voisinage :

```
1 public class Voisinage
2 {
3   /* les méthodes de cette classe permettent de "mapper" un vecteur sur un
4   * tableau multi - dimensionnel et réciproquement */
5   private Ac[] réseau;
6   private int [] tabDimensions;
7   Voisinage(int [] tabDimensions,Ac[] réseau)
8   {
9     // corps du constructeur ...
10  }
11  public Ac getVoisin(int indice,int [] tabDécalages)
```

# Séminaire interne du LMT - 8 février 2001

```
12 {
13   int [] coordonnées = indice2coordonnées(indice);
14   for (int i=0 ; i<dimension ; i++)
15     coordonnées[i]=(coordonnées[i]+tabDécalages[i]+tabDimensions[i]);
16   return réseau[coordonnées2indice(coordonnées)] ;
17 }
18 }
```

↪ la partie relative au traitement graphique (conversationnel ou post-traitement), à la lecture des *Properties*, au lancement de l'application... (et, plus tard, la gestion du *multithreading*) est aussi écrite de manière "générique":

## Séminaire interne du LMT - 8 février 2001

Ce qui reste à la charge de l'expérimentateur...

← génération du fichier des *Propertes* :

```
1 classeApplication=Fdf
2 tabDimensions=200,200
3 trtGraphique=post-traitement
4 nbC=200
5 nbI=200
6 grossissementX=1
7 grossissementY=1
8 periodeEntre2Cliches=3
9 nombreDeCliches=200
10 nbThreads=20
```

← écriture de la classe chargée d'implémenter le "contrat" :

```
1 class Fdf implements Ac
2 {
3     int état;
4     private int x,y;
5     private Fdf N,E,courant,S,W;
6     /*
7     * Selon la valeur de "état", la portion boisée qui correspond à la
8     * cellule courante est : soit complètement consommée (0), soit en train de
9     * brûler (13 -> 1), soit indemne (14).
10    */
11
12    public void initialiser (int indice, Propertes proprietés, Voisinage voisins)
13    {
```

# Séminaire interne du LMT - 8 février 2001

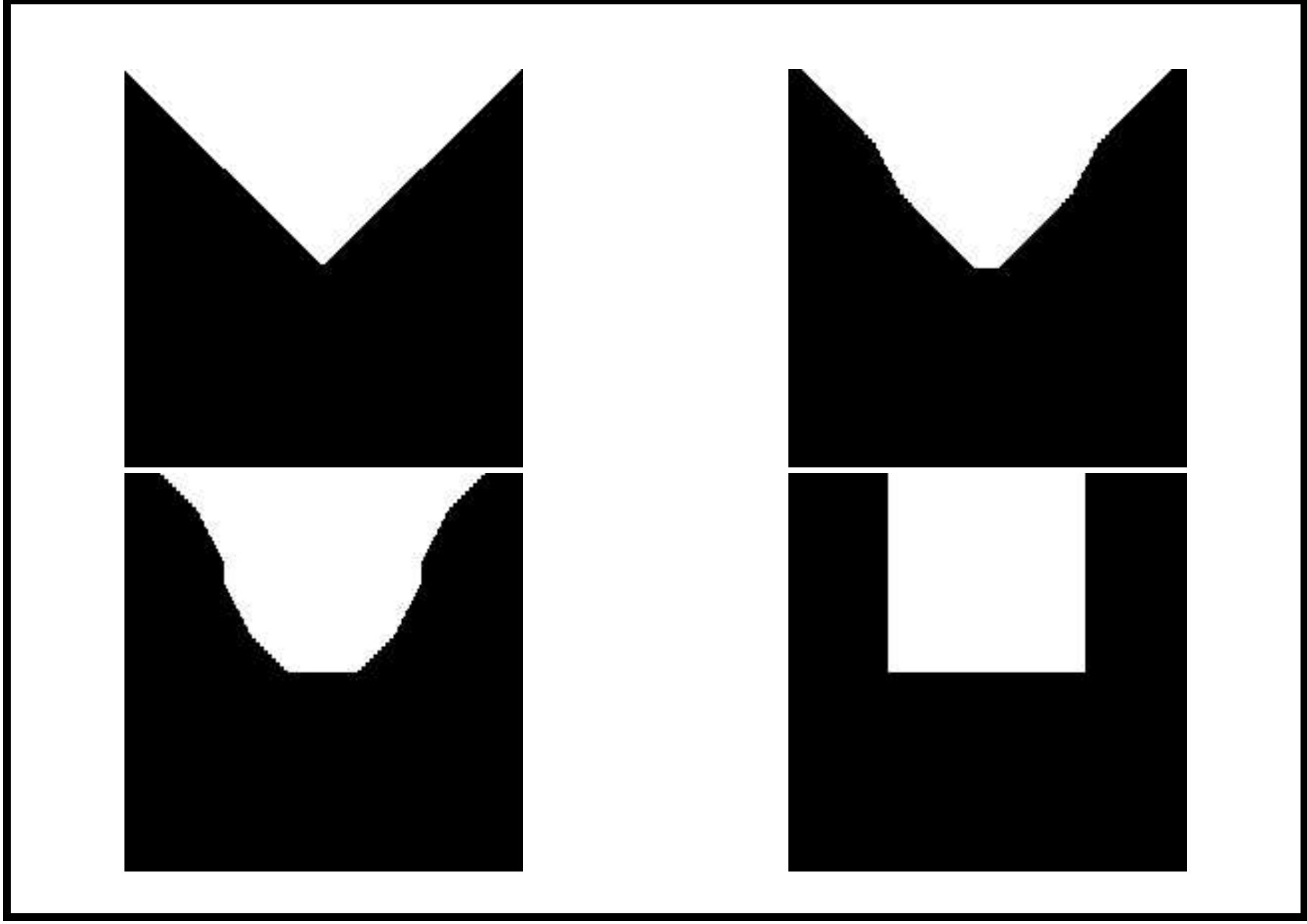
```
14 x = voisins.getCoordonnées(indice,0);
15 y = voisins.getCoordonnées(indice,1);
16
17 if ( voisins.estSurUnBord(new int[] {x,y}) )
18     état = 0;
19 else if ( x == 100 )
20     état = 13;
21 else état = ( aléatoire.nextInt(100) < 60 ) ? 14 : 0;
22
23 N = (Fdf) voisins.getVoisin(indice, new int[] {0,1});
24 W = (Fdf) voisins.getVoisin(indice, new int[] {-1,0});
25 courant = (Fdf) voisins.getVoisin(indice, new int[] {0,0});
26 E = (Fdf) voisins.getVoisin(indice, new int[] {1,0});
27 S = (Fdf) voisins.getVoisin(indice, new int[] {0,-1});
28 }
29
30 public void transitionLocale()
31 {
32     if ((courant.état >= 1 && courant.état <= 13) ||
33         (courant.état == 14 &&
34         (N.état == 13 || E.état == 13 ||
35         S.état == 13 || W.état == 13)))
36         état = courant.état-1;
37     else état = courant.état;
38 }
39
40 public void afficher(WritableRaster tableauPixels)
41 {
42     int rouge=0, vert=0, bleu=0;
43     switch(état) {
44     case 0:
```



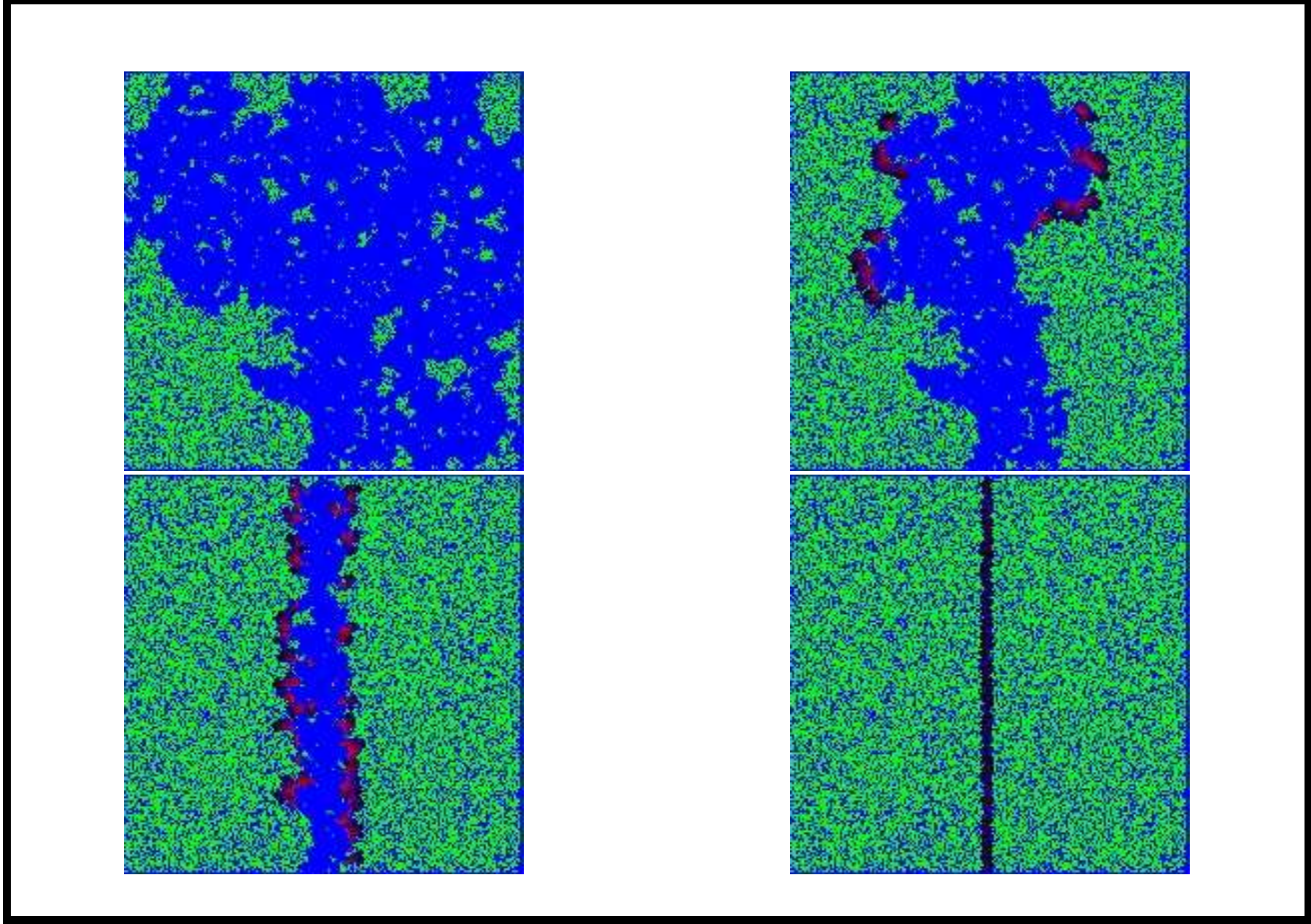
← quelques illustrations : Spm 1D, feux de forêt, flocon...

```
45   bleu = 255;
46   break;
47   case 14:
48     vert = 255;
49     break;
50   default:
51     rouge = (255 * (13-état)) / 13;
52   }
53   tableauPixels.setPixel(x,y,new int[]{rouge,vert,bleu});
54   }
55 }
```

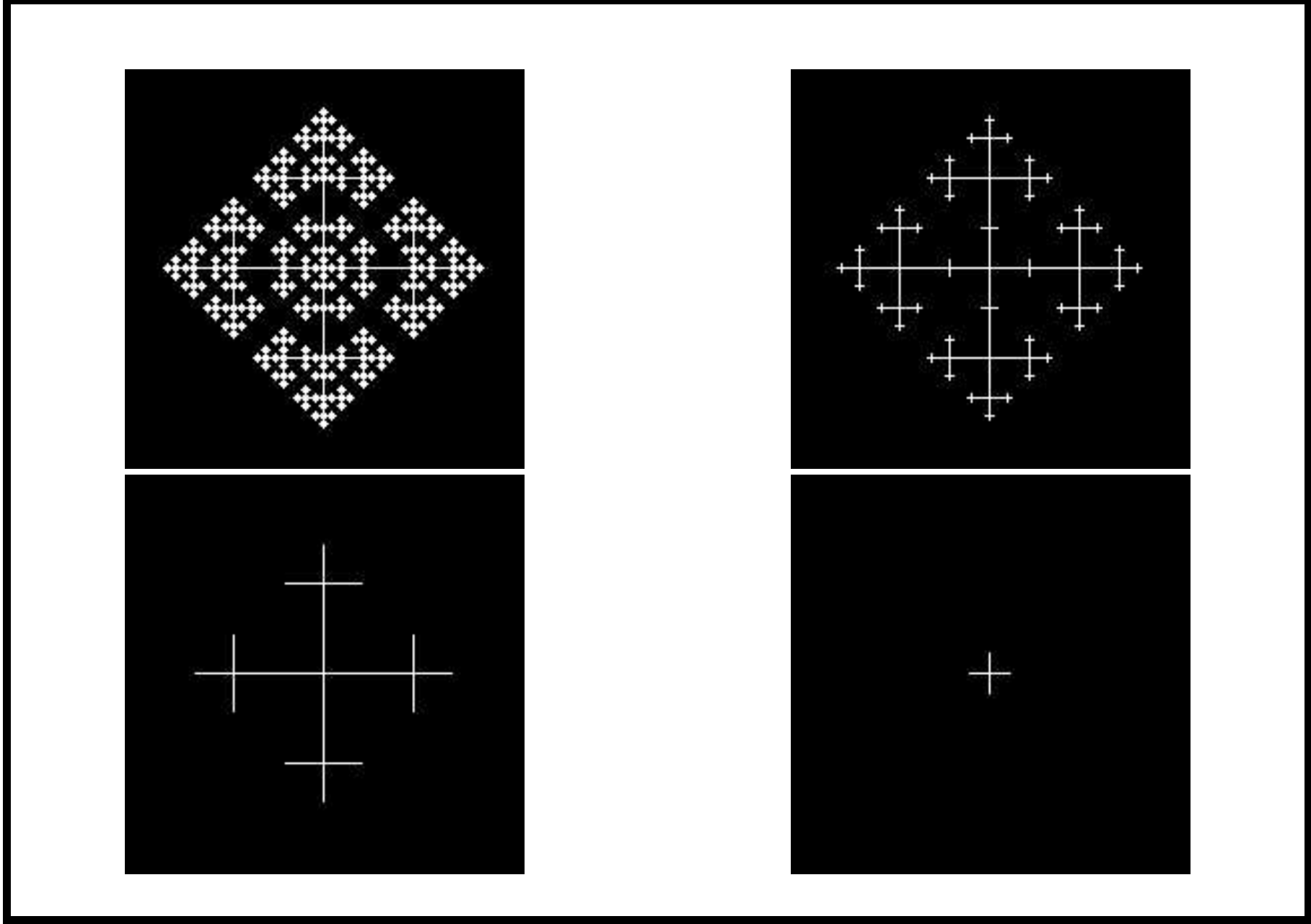
# Séminaire interne du LMT - 8 février 2001



# Séminaire interne du LMT - 8 février 2001



# Séminaire interne du LMT - 8 février 2001



## Parallélisation du simulateur générique - de l'intérêt des *native threads*

← restriction au cas des architectures à mémoire partagée,

← VM Java de bacchus : JDK 1.2.2, *green threads*, *mipsjit*,

“*Green threads are user-level threads, implemented within a single Unix process, running on a single processor. This release allows the use of native threads (implemented using POSIX threads, or pthreads), therefore taking full advantage of multiprocessors*”

← stratégie employée :

↳ décomposition par blocs d'automates consécutifs, de l'ensemble du réseau (pas de notion de localité ni d'exploitation du voisinage... toutes les données sont globalement adressables),  
↳ applications itérées concurrentes de transition “globale” pour chaque sous-domaine,

# Séminaire interne du LMT - 8 février 2001

►synchronisation globale à chaque pas de temps.

←en ce qui concerne l'implémentation :

►mise au point d'une classe générique RacAux :

```
1 class RacAux extends Thread
2 {
3     RacAux(..)
4     {
5         // lancement automatique du thread courant :
6         start ();
7     }
8     public void run()
9     {
10        initialiser ();
11        compteurCliche++;
12        afficher ();
13        for (int compteur=1 ; compteurCliche<propriétés.nombreDeCliches ; compteur++) {
14            Rac.incrementeRDV(1);
15            synchronized (this) {
16                try {
17                    wait ();
18                } catch (InterruptedException e) {}
19            }
20            transitionGlobale ();
21            if ((compteur%propriétés.périodeEntre2Cliches) == 0) {
22                compteurCliche++;
23                afficher ();
```

# Séminaire interne du LMT - 8 février 2001

```
24     }
25     }
26     }
27     private void afficher()
28     {
29     for(int i=début ; i<fn ; i++)
30     configuration1[i].afficher (tableauPixels);
31     }
32     private void initialiser ()
33     {
34     // même traitement ...
35     }
36     public void transitionGlobale()
37     {
38     // même traitement ...
39     }
40     }
```

◆ qui est instanciée au niveau de la classe Rac (modifiée) :

```
1     public class Rac
2     {
3     private static int RDV = 0;
4
5     public void itérer () throws IOException
6     {
7     tableauThreads = new RacAux[nbThreads];
8     for (int i=0 ; i<tableauThreads.length ; i++) {
9     début = i*nbCellParThread;
10    fn = (i+1 != nbThreads) ? (i+1)*nbCellParThread : nbCellules;
11    tableauThreads[i] =
```

# Séminaire interne du LMT - 8 février 2001

```
12 new RaAux(debut,fn,...);
13 }
14 for (int compteur=0 ; compteur<propriétés.nombreDeClichs-1 ; compteur++) {
15     // première synchronisation des threads :
16     try {
17         while (RDV != tableauThreads.length)
18             Thread.currentThread().sleep(10); // paramètre à ajuster
19     } catch (InterruptedException e) {}
20     // remise à zéro du compteur de " rendez - vous " :
21     incrementerRDV(-tableauThreads.length);
22     // traitement d'affichage ou stockage de la configuration courante :
23     compteurClichs = représenterGraphiquement(compteurClichs,compteur);
24     // relance globale :
25     // notifyAll ();
26     // (ne marche qu'avec la version 1.3 du JDK)
27     for (int i=0 ; i<tableauThreads.length ; i++)
28         synchronized(tableauThreads[i])
29             { tableauThreads[i].notify (); }
30     }
31     synchronized static void incrementerRDV(int n)
32     {
33         RDV += n;
34     }
35 }
```



À propos des performances...



```
gr_top
IRIX64 bacchus 6.5 IP27      load averages: 27.45 26.91 25.52      15:16:05
307 processes: 283 sleeping, 2 ready, 22 running
64 CPUs: 49.6% idle, 31.3% usr, 7.8% ker, 11.3% wait, 0.0% xbrk, 0.0% intr
Memory: 246 max, 236 avail, 7654M free, 176 swap, 176 free swap

PID      PGRP  USERNAME  PRI  SIZE  RES STATE  TIME  WCPU%  CPU%  COMMAND
3735153  3735153  leduc      20    84M   14M sleep 1:14 158 185.7 java
3698005  3698005  leduc      20 2512K 1472K run/19 0:00 1.2 1.15 top
```

► de l'utilité de l'option -T (*List data for individual kernel threads*) de la commande ps

## Séminaire interne du LMT - 8 février 2001

### Conclusions et évolutions

- ← écriture d'une version "objets distribués" ou "invocation de méthodes à distances" de la transition globale, pour prendre en compte le cas d'architectures à mémoire distribuée non partagée,
- ← envisager une version par échange de messages explicites (couplage Java-MPI?),
- ← développement d'une GUI et d'un mini-langage pour l'aide à la mise au point de réseaux d'automates cellulaires...
- ← une adresse : <http://bacchus.lmt:8080/~leduc/doctorat/>.